

45

VIII 1410

1950

$\text{ThS}$ ,  $\text{Th}_2\text{S}_3$ ,  $\overline{\text{Th}_2\text{S}_{12}}$ ,  $\text{ThS}_2$ ,  
 $\text{U}\text{S}$ ,  $\text{U}\text{S}_2$ ;  $\text{U}_2\text{S}_3$ . ( $\text{Tm}$ ,  $\alpha\text{Hf}$ )

Eastman E.D., Brewer L.,  
Bromley L.A., Gilles P.W., Lofgren N.L.

J. Amer. Chem. Soc., 1950, 72, 4019-402

B, M [ ]

CA, 1957, 1451a

Puerto Rico.

1955

US

Picra M., Flahaut J.

C. U. Acad. sci., 1955, 241, N° 9,  
655-657.

О судоходстве Японии.

X-56-8 - 2.2185.

1960

U.S.

Cater E.D.

U.S. At. Energy Comm. ANL-6140  
cip. 178 , 1960

C.A. 54 20392

1961

24Б589. Моносульфид урана. I. Испарение, термодинамика, фазовые переходы. II. Масс-спектрометрическое изучение моносульфида урана. Uranium monosulfide. I. Cater E. David, Gilles Paul W., Thorn R. J. Vaporization, thermodynamics, and phase behavior. II. Cater E. David, Rauh E. G., Thorn R. J. Mass spectrometric study of its vaporization. «J. Chem. Phys.», 1961, 35, № 2, 608—618, 619—624 (англ.).

I. Скорость испарения US измерена в интервале  $T = 1840—2730^{\circ}\text{K}$  и в интервале давлений  $10^{-3}—10^{-8}\text{ атм}$  с точностью  $\pm 4\%$  методом Кнудсена (испарение из вольфрамовой камеры). Показано, что состав испаряющегося пара в-ва отвечает отношению  $S/U = 1,0$ . Масс-спектрометрич. измерения (см. сообщение II) показали, что в паре находится как US, так и газообразные U + S. Скорость эффузии рассчитывалась так, как если бы пар состоял только из молекул US. Данные описываются ур-ием:  $\lg P_E(\text{атм}) = -1,7382 + 3,127 \cdot 10^4/T - 1,3181 \cdot 10^8/T^2 + 0,093776 \cdot 10^{12}/T^3$ , где  $P_E$  — «эффективное» давление пара  $P_E = P_{US} + P(M_{US}/M_U)^{1/2}$ ,  $M$  — молекулярный вес. Рассчитаны теплоты и энтропии сублимации при  $2300^{\circ}\text{K}$  с образованием молекул US ( $150,3 \pm 2,1$  ккал/моль и  $38,4 \pm 0,6$  энтр. ед.) и эле-

cipp 619-624-[139-140-VII]

608 - 618;

BGP - 1257 - VII

X. 1962. 24.

BGP - 1139 - VII

cipp 608 - 624

с. с. с.

и 85.

ментов ( $271,2 \pm 4$  ккал/моль) и  $65,5 \pm 1,6$  энтр. ед). Параметры решетки US  $5,4903 \pm 0,0002$  Å. Т. пл. 2735 ( $+30-5^\circ$ ) К. По-видимому US в твердой фазе имеет небольшие отклонения от стехиометрич. состава. Для абсолютных энтропий при  $2300^\circ$  К получены значения  $45 \pm 2$  энтр. ед для твердого и  $83 \approx 3$  энтр. ед. для газообразного US. Теплоты образования при  $298^\circ$  К US(тв.) и газообразных атомов равны  $-273 \pm 5$  ккал/моль и для твердых элементов  $-90 \pm 5$  ккал/моль. Свободные энергии образования твердого и газообразного US ( $2100-2400^\circ$  К) выражаются соответственно ур-ниями:  $\Delta F^\circ(\text{обр.})$  (US(тв.)) =  $64,0 T - 268\,000$  кал/моль и  $\Delta F^\circ(\text{обр.})$  US(газ) =  $38,8 T - 152\,000$  кал/моль. Даётся полутеоретич. расчет нелинейных ур-ний для температурных зависимостей свободных энергий и энтропий испарения.

II. С помощью масс-спектрометра (РЖФиз, 1957, № 1, 247) изучено испарение US из вольфрамовой эффициционной камеры. Подробно описана конструкция устройства, формирующего молекулярный поток. В области т-р  $1700-1250^\circ$  US испаряется преимущественно двумя путями: US(тв.) = US(газ), и  $US(\text{тв.}) = U_2 + S_2$ . Okolo  $2100^\circ$  и выше становится заметной р-ция:  $2US(\text{тв.}) = US_{\text{а}}(\text{газ}) + U(\text{газ})$ . Рассчитанное методом наименьших квадратов отношение попытных токов  $I_{us+}/I_{u+}$  как функция т-ры ( $1885-2130^\circ$ ) дает для теплот испарения US и  $S_2$ :  $\Delta H_{t^0}(\text{US}) - \Delta H_{t^0}(S_2)/2 = 14,6 \pm 2,4$  ккал/моль. В присутствии очень малого кол-ва кислорода в твердом US в паре появляются  $UO$  и  $UOS$ . Подразумевается, что слабый пик в спектре с массой 264 принадлежит иону  $ThS^+$ .

Резюме автора

crp 619-624 B90-400-VIII

1961

Ug

Uranium monosulfide. I. Vaporization, thermodynamics, and phase behavior. E. David Cater, Paul W. Gilles, and R. J. Thorn (Argonne Natl. Lab., Argonne, Ill.). *J. Chem. Phys.* 35, 608-18(1961). A W effusion cell was used. The congruently evapg. compn. was S/U = 1.00. The effusion rate was expressed in terms of an effective vapor pressure  $P_E$ , calcd. as though the entire vapor consisted of gaseous US mols.:  $\log P_E \text{ (atm.)} = -1.7382 + 3.127 \times 10^4/T - 1.3181 \times 10^3/T^2 + 0.093776 \times 10^{12}/T^3$ . The heat of sublimation at 2300°K. to gaseous mols. was 150.3 and to gaseous elements, 271.2 kcal./mole. The corresponding entropies of sublimation were: to mols. 38.4 and to atoms 65.5 cal./degree-mole. The lattice parameter of US is 5.4903 Å. The m.p. is 2735°K. The abs. entropies at 2300°K. are 45 e.u. for the solid and 83 e.u. for the gas. The heat of formation of solid US at 298°K. from the gaseous atoms was estd. to be -273 kcal./mole and from the solid elements, -90 kcal./mole. The free energies of formation of solid and gaseous US at 2100-2400°K. are  $64.0T - 268,000 \text{ cal./mole}$  and  $38.8T - 152,000 \text{ cal./mole}$ , resp. A semitheoretical treatment yielded nonlinear equations for the temp. dependences of the free energies and

crp 608-618

Pop. 1251-VII

C.A.1962 57.1  
394 bcd

B90-1139-VII  
crp 608-624

see  
1405.

entropies of vaporization. II. Mass spectrometric study of its vaporization. E. David Cater, E. G. Rauh, and R. J. Thorn. *Ibid.* 619-24. A time-of-flight mass spectrometer was used. At 1700-2150° US vaporizes predominantly according to the equations,  $US(s) = US(g)$  and  $US(s) = U(g) + S(g)$ , and to a detectable extent at 2100° and above by the reaction,  $2US(s) = US_2(g) + U(g)$ . In the presence of very small amts. of O in the solid US, the vapor species  $UO$  and  $UOS$  were found. A faint peak in the spectrum at mass 264 was attributed to  $ThS^+$ .

Henry Leidheiser, Jr.

at-  
cator  
b

1962

10598 (TID-15796) VAPORIZATION AND THERMO-DYNAMIC PROPERTIES OF URANIUM SULFIDE AND OXYSULFIDE. E. Dayid Cater, E. G. Rauh, and R. J. Thorn (Argonne National Lab., Ill.). Mar. 1962. Contract [W-31-109-eng-38]. 20p. (UAC-6252)

U<sub>3</sub>  
U<sub>3</sub>O<sub>x</sub>

A review is presented on the vaporization properties of uranium sulfides. The vaporization behavior of US is described in detail, and the behavior of the U-S system is compared with that of the U-O system at atom ratios near unity. Some of the aspects of the vaporization behavior in the U-S-O system are described. Comments are given on the chemical bonding in gaseous oxides and sulfides.

(D.L.C.)



NYSA - 1963 - 17 - 4

US, UO, UOS

1962

25399 VAPORIZATION AND THERMODYNAMIC PROPERTIES OF URANIUM SULFIDE AND OXYSULFIDE. E. David Cater, E. G. Rauh, and R. J. Thorn (Argonne National Lab., Ill.). Preprint SM-26/45. 20p. (In English)

To be published in the Proceedings of the IAEA Symposium on the Thermodynamics of Nuclear Materials held in Vienna, 21-25 May 1962.

DFP  
DSP  
3  
NSA - 1962  
16 - 19

The investigations of the vaporization and thermodynamic properties of uranium monosulfide and of a mixture of uranium monosulfide and dioxide are discussed and analyzed for the purpose of obtaining consistent and reliable free energies and entropies of formation of gaseous US, UO, and UOS and solid US. The experiment with the mixture is particularly interesting in that it illustrates how one can resolve a moderately complex system of condensed-gas phase equilibria by the effusion method provided accurate thermodynamic data are available. Solid uranium monosulfide vaporizes to comparable amounts of gaseous US and gaseous U and S. By measurement of absolute rates of effusion (with the  $\alpha$ -active isotopes,  $U^{235}$  and  $U^{234}$ ) and

#2

of the ratio of gaseous uranium to monosulfide (with the aid of a mass spectrometer) it is possible to derive the properties of the two simultaneous equilibria  $US(s) = U(g) + S(g)$  and  $US(s) = US(g)$ . The total effective pressure (calculated as if it were all  $US$ ) is given by the empirical equation,  $\log p_e \text{ (atm)} = -1.7382 + 3.1274 \times 10^4/T - 1.3181 \times 10^8/T^2 + 0.09378 \times 10^{12}/T^3$ . Using the mass spectrometric data, one can separate the contributions of the uranium and the monosulfide to the effective pressure and find that  $\Delta F_f^0(USs) = 64,0T - 268,000$  (cal/mole) and  $\Delta F_f^0(USg) = 38.8T - 152,000$  (cal/mole). The measurements of the absolute effusion rates are sufficiently precise to derive the curvature in the free energies for the two reactions given above, but the precision of the free energy equations is limited by the mass-spectrometric method. The absolute entropies of solid and gaseous monosulfide are 45.1 and 83.4 eu, respectively. The solid is metallic and has a melting point of 2735°K. Mass spectrometric observations of the effusate from a cell containing a mixture of monosulfide and dioxide yield the relative partial pressures for the equilibrium  $US(g) + UO_2(g) = UO(g) + UOS(g)$ , and from the variation of the equilibrium constant with temperature, one calculates the heat of this reaction. From measurement of the absolute rate of effusion and the known free energies of formation for gaseous monosulfide, dioxide, and monoxide one can calculate the free energy of formation and the dissociation energy of the oxysulfide. The relative bonding in the molecules  $US$ ,  $UO$ ,  $UOS$ , and  $UO_2$  are discussed with an attempt to derive the bonding in the molecule  $US_2$ . (auth)

1969

US; US<sub>2</sub>  
UOSS.  
M.-g.  
cb Jba

C.A. 1965

62-13

Vaporization and thermodynamic properties of uranium sulfide and oxysulfide. E. D. Cater, E. G. Rauh, and R. J. Thorn (Argonne Natl. Lab., Argonne, Ill.). "Thermodyn. Nucl. Mater., Proc. Symp., Vienna 1962, 487-99 (Pub. 1963). In the study of the thermodynamic and vaporization properties of US and a mixt. of US and UO<sub>2</sub>, the data are analyzed in terms of establishing free energy and entropy of formation values for gaseous US, UO<sub>2</sub>, and UOS and solid US. US vaporizes giving comparable amts. of gaseous US and gaseous U and S; the total effective pressure, calcd. as if it were all US, is given by:  $\log p_0$  (atm.) =  $(3.127 \times 10^4/T) - (1.3181 \times 10^8/T^2) + (9.3776 \times 10^{10}/T^3) - 1.7382$ . Partial thermodynamic functions were given by:  $\Delta F^\circ_f$  (US(s)) =  $64.0T - 268,000$  and  $\Delta F^\circ_f$  (US(g)) =  $38.8T - 152,000$  cal./mole; abs. entropies of solid and gaseous US are 45.1 and 83.4 e.u., resp. US has a m.p. of 2735°K. and is metallic. The total volatility of US and UO<sub>2</sub> was about twice the sum of the sep. volatilities of dioxide and monosulfide from 2050-2500°K. Gaseous species identified included U, UO, UO<sub>2</sub>, US, UOS, and at the highest temp. US<sub>2</sub>. The dissociation energies of the gaseous sulfides and oxides were given as: US 5.2, UO 7.5, US<sub>2</sub> 10, UOS 13, and UO<sub>2</sub> 14.9 ev. 15 references.

J. W. Taylor

154979

E

1258

12-18

BD

+2



VIII 2317

1962

US, ThS (Tm)

Shalek P.D., Handwerk J.H.,

U.S. At.Energy Comm., NP-13054,

1962, 15pp

Sintering and properties of uranium and  
thorium monosulfides

Kerf & Juke

CA, 1964, 60, N 13, 15546e

3

21S  
ThS

1962

Sintering and properties of uranium and thorium monosulfides.  
P. D. Shalek and J. H. Handwerk (Argonne Natl. Lab., Lemont,  
Ill.) - U.S. At. Energy. Comm. ANL-FGF-397, 18 pp.(1962).  
Monosulfide powders were prep'd. by reacting metal powder,  
prep'd. by hydriding-dehydriding of metal turnings, with H<sub>2</sub>S.  
Specimens were isostatically pressed and fired. Sintering studies,  
lattice parameters, and groove etching were discussed. The  
following properties were detd.: m.p., elec. resistivity, thermal  
cond., oxidn. behavior, and compatibility with metals. From  
*Nucl. Sci. Abstr.* 17(6), Abstr. No. 8799(1963). TCNG

+1

C.I. 1964 Co N13 15546 e. 

VIII 2540

1962

$UO_3$ ,  $UO_2$ ,  $U_4O_9$ ,  $U_3O_7$ ,  $U_3O_8$ ,  $UO_3$ ,  
 $ThO_2$ ,  $NpO_2$ ,  $PdO_2$ ,  $AmO_2$ ,  $CmO_2$ ,  $BkO_2$ ,  
 $CfO_2$ ; суперизот. селитиды и Тимон-  
игори урана, окислы и гидроксиды.  
Элементов (термодин. сб-64)

Westrum E. F., Groenvold F.,  
Thermodynamic Nuel. Mater.,  
Proc. Symp., Vienna, 1962, 3-36 (Publ. 1963)

CA, 1965, 62, nB, 154939

Б

VIII 1357 1963.  
uN, uS, ThN, ThS, PuN, PuS  
(Ferguson class)

Dell R.M., Allbutt M.

Atomic Energy Res. Estab. (Gr. Brit.)

Rept. R 4253, 1963, 48pp

M, S, LO

CA, 1963, 59, VI, 209e

Rec'd 6.5-6e

U<sub>4</sub>S'

BGP-2289-VIII

1963.

U<sub>4</sub>S<sub>2</sub>

Scheibl H

(T<sub>m</sub>)

Keram. Z., 1963, 15 n<sup>o</sup> 4,  
199-202.

1963

us  
Ta3

27832 PREPARATION AND PROPERTIES OF URANIUM AND THORIUM MONOSULFIDES. P. D. Shalek (Argonne National Lab., Ill.). J. Am. Ceram. Soc., 46: 155-61(Apr. 21, 1963).

Uranium and thorium monosulfide bodies were made by the reaction of  $H_2S$  with the metal at low temperatures followed by homogenization and sintering at high temperatures. Some US-ThS solid solutions also were made. The effect of homogenization and firing temperature, S/metal ratio, impurities, and atmosphere on the densification, structure, and properties of these bodies is discussed. The properties evaluated include melting point, electrical resistivity, thermal conductivity, thermal expansion, hardness, strength, oxidation behavior, and compatibility. (auth)

+1

NSA-1963-17-16



VIII 2318 1963

UC, US ( Tm )

Shalek P.D., White G.D.,

Carbides Nucl. Energy, Proc. Symp.,

Harwell, Engl., 1963, 266-72

( Pub. 1964 )

Studies in the system uranium  
carbide-uranium sulfide

CA, 1965, 62, N 12, 14127h

5

1963

US

23 Б142. Ферромагнитный моносульфид урана:  
 Trzebiatowski Włodzimierz, Suski Wojciech. Ferromagnetic uranum monosulphide. «Roczn. chem.», 1963, 37, № 1, 117—118 (англ.; рез. польск.)

Методом Фарадея в интервале 90—293° К исследованы магнитные свойства моносульфида урана US, полученного из стехиометрич. смеси серы и урана (последний получен термич. разложением гидрида урана). Моносульфид урана имеет вид серого порошка. Кристаллич. структура каменной соли с постоянной решетки 5,489 Å. При низких т-рах обнаружен ферромагнетизм. Выше точки Кюри (185°) выполняется закон Кюри—Вейсса. Эффективный параметр магнитной восприимчивости (2,22  $\mu_B$ ) ниже, чем у ранее исследованных UTe и USe (соответственно 2,84 и 2,51  $\mu_B$ ). Т. Ребане

X·1963·23

U.S

Baskin Y., Shalek P.D. | 1964

Met. Soc., Am. Inst. Mining  
Met. Petrol. Engrs, Inst.  
Metals Div. Spec. Rept.,  
No. 13, 457'(1964)

Ch-ka up, U.S. u rep-U.S-  
46. p-pob.



(Cll. up) I

1964

ThS

US

+1

Thermodynamic properties of uranium and thorium monosulfide. E. D. Cater, R. J. Thorn, and R. R. Walters (Argonne Natl. Lab., Argonne, Ill.). *Met. Soc., Am. Inst. Mining, Met. Petrol. Engrs., Inst. Metals Div., Spec. Rept. Ser.* 10(13), 237-44 (1964)(Eng). Vapor pressure and mass spectrophotometric measurements of US from 1840 to 2770°K. are given. Abs. entropies calcd. from the data at 2300°K. are 45.1 and 83.4 e.u. resp., for solid and gaseous US. Vapor pressure measurements of ThS at 1935-2464°K. give the log of the pressure in atm. as  $\sim 7.7 - 3.366 \times 10^4 T^{-1}$ . Th and US were found to form solid solns. in which the lattice parameter varies linearly with the mole fraction of ThS.

W. W. Brown

C.A. 1966. 64. 10  
13461 de

U.S.  
ThS

7451 THERMODYNAMIC PROPERTIES OF URANIUM  
AND THORIUM MONOSULFIDE. E. D. Cater (Argonne  
National Lab., Ill.), R. J. Thorn, and R. R. Walters. Met.  
Soc., Am. Inst. Mining, Met. Petrol. Engrs., Inst. Metals  
Div., Spec. Rept., No. 13, 237-44(1964).

1964

Various thermochemical properties of uranium and thorium sulfides were investigated. These were compiled, analyzed, and intercompared and new values reported. Previous vapor pressure and mass spectrometric measurements of uranium monosulfide in the temperature range of 1840 to 2770°K gave the following free energy relationships:  $\Delta F_f^\circ (\text{US}, s) = 64.0T - 268,000$  (cal/mole) and  $\Delta F_f^\circ (\text{US}, g) = 38.8T - 152,000$  (cal/mole). The absolute entropies calculated from these data at 2300°K are 45.1 and 83.4 e.u. respectively for solid and gaseous uranium monosulfide. Preliminary vapor pressure measurements of thorium monosulfide in the temperature range of 1935 to 2464°K gave an estimated total effective pressure,  $p_e$ , of thorium monosulfide (calculated as if the vapor species were all ThS) as  $\log p_e \text{ (atm)} \cong 7.7 - [(3.366 \times 10^4)/T]$ . Thorium and uranium monosulfide were found to form solid solutions in which the lattice parameter,  $a_\infty$ , varies linearly with the mole fraction of thorium monosulfide. (auth)

+1

NSA-1965-195



U.S.

Drouart Y. et al.

1964

Y. Nucl. Mater.,

97

$\Delta H_f$

12, N3, 319

алюминия  
описанный

меньшома субмикроскопи-

ческое урана и сопроводи-  
тельство переходных ми-

ческих алюминиях при  
создании урана.

(Cll. II) I

VIII 2417

1964

$U_2S$ ,  $U_2S_2$ ,  $U_2S_3$ ,  $U_2S_3$ ,  $U_3S_5$   
(kp. emp.)

Suski W., Trzebiatowski W.,

Bull. Acad. polon. sci. Ser. sci. chim.,  
1964, 12, N 5, 277-279

Me

Przeg, 1965, 145256

US

1964

10 Б503. Термоэлектрические свойства моносульфида урана, моносульфида тория и твердых растворов US—ThS. Тетенбаум Магнин. Thermoelectric properties of uranium monosulfide, thorium monosulfide, and US—ThS solid solutions. «J. Appl. Phys.», 1964, 35, № 8, 2468—2472 (англ.)

термо-  
электр.  
св-ва

Изучена температурная зависимость коэф. термо-э. д. с. и электросопротивления спеченных US, ThS и твердых р-ров US—ThS. US ведет себя как полуметалл, а ThS — как металл. Термо-э. д. с. US слабо зависит от темп. и уменьшается при увеличении конц-ии ThS. Зависимость сопротивления US—ThS в основном такая же. Наличие высших сульфидов в US понижает коэф. термо-э. д. с. Термоэлектрич. добротность US в ~10 раз ниже, чем необходимо для использования в термоэлектрич. генераторах.

Резюме автора



20. 1965. 10

VIII 1233

1966

U, US,  $US_2$  ( p, Kp,  $\Delta H$ ,  $\Delta S$ , Do )

Cater E.D., Rauh E.C., Thorn R.J.,  
J.Chem.Phys., 1966, 44, N 8,  
3106-3111

Uranium monosulfide . III. Thermochemistry, partial pressures, and dissociation energies of US and  $US_2$

Published 1967, 2B 575 BM, 10

1966

U.S.  
U.S.  
 $\Delta S^{\circ}$   
 $\Delta H^{\circ}$   
 $D_0$

Uranium monosulfide. III. Thermochemistry, partial pressures, and dissociation energies of US and  $US_2$ . E. David Cater (Univ. of Iowa, Iowa City), E. G. Rauh, and R. J. Thorn. *J. Chem. Phys.* 44(8), 3106-11(1966)(Eng); *CA* 57, 3945.

A mass-spectrometric study of the sublimation of US was performed from  $1825^{\circ}$  to  $2400^{\circ}\text{K}$ . The data are combined with the previous measurements (*loc. cit.*) of abs. rate of effusion by means of a new method of calcn. which effects an abs. pressure calibration of the spectrometer and allows a calcn. of the partial pressures of U, US, and  $US_2$  in the vapor phase, the enthalpies and entropies of sublimation to atoms and mols., and the dissociation energies of US and  $US_2$ . The partial pressures of U, US, and  $US_2$  at  $2020^{\circ}\text{K}$ . are in the ratios 1/0.27/0.001. The data for the several sublimation processes are (reaction,  $\log P$  (atm.),  $\Delta H^{\circ}_{2020}$ , kcal./mole,  $\Delta S^{\circ}_{2020}$  cal./mole-degree):  $US(s) = US(g)$ ,  $\log P_{US} = (7.606 \pm 0.091) - (31,030 \pm 190)/T$ ,  $142.0 \pm 0.9$ ,  $34.8 \pm 0.4$ ;  $US(s) = U(g) + S(g)$ ,  $\log P_U = (7.323 \pm 0.081) - (29,600 \pm 170)/T$ ,  $270.9 \pm 0.16$ ,  $65.0 \pm 0.7$ ;  $2US(s) = US_2(g) + U(g)$ ,  $\log P_{US_2} = (6.36 \pm 0.26) - (33,430 \pm 580)/T$ ,  $288.4 \pm 3.7$ ,  $62.6 \pm 1.2$ . The dissociation energies for US and  $US_2$  are:  $D_0(US) = 133.8 \pm 2.3$  kcal./mole or  $5.80 \pm 0.10$  ev. and  $D_0(US_2) = 252 \pm 4$  kcal./mole or  $10.9 \pm 0.2$  ev.

RCIQ

C.A. 1966  
64.12

16667 et lemb ucpabessce! (ca. 1968?)

US

1968

> 20 Б731. Кристаллизация моносульфида урана из серосодержащего расплава урана. Itoh Hikaru, Akimoto Yumi, Ishi Bumpei. Uranium monosulphide crystallized from sulphurated uranium melt. «J. Nucl. Sci. and Technol.», 1966, 3, № 11, 497—498 (англ.)

Изучен процесс кристаллизации US из расплава U, содержащего S. С целью подавления протекающего при охлаждении перехода  $\gamma \rightarrow \alpha$  использован сплав U с 10% Mo. Сплав плавили плазменной горелкой (Ag плазма) в водоохлаждаемом Си-тигле; S до конц-ии 4,9 ат.% вводилась в расплав путем добавления в плазму  $H_2S$ . После охлаждения расплава образцы исследовали металлографич., хим., рентгеновским методами анализа, а также методом локального электронно-

X. 1967. 20

го микроанализа. Зафиксировано выделение при кристаллизации пластинчатых кристаллов US, имеющих, по-видимому, отклонения от стехиометрич. состава в сторону дефицита S, что обусловливает искажение куб. структуры US и вызывает преимущественную ориентацию роста зерна при кристаллизации. Эвтектика в системе U—S располагается при  $\sim 0,5$  ат.% S.

Л. В. Шведов

1966

Вар-358-VIII

us

и ч о г

(G)

4 A161. Тепловой контакт с порошкообразным образцом в низкотемпературной калориметрии. Flotow Howard E., Osborne Dargell W. Thermal contact with powdered samples for low temperature calorimetry. «Rev. Scient. Instrum.», 1966, 37, № 10, 1414—1415 (англ.)

Для быстрого установления теплового равновесия в калориметре с порошкообразным образцом при т-ре ниже 10° К последний засыпался в капсулу, состоящую из двух коаксиальных Си-цилиндров с толщиной стенки 0,006 см. Заполненная порошком капсула опускалась в стальную пресс-форму и прессовалась при давлении 1 кбар. Операции засыпки и прессования производились в среде Не. Отпрессованный образец помещался затем в калориметр, при этом кольцевой зазор между ними

+1



4. 1967. 4A

заполнялся апъезоновой смазкой для улучшения теплового контакта. Проведенные с помощью данной аппаратуры измерения теплоемкости  $US$  и  $U_4O_9$  при температуре  $1,5-25^{\circ}\text{K}$  показали, что время установления теплового равновесия для  $US$  и  $U_4O_9$  было равно 1,5 и 4,5 мин. соответственно, что позволило провести точные измерения. Результаты измерения теплоемкости будут опубликованы позднее.

Г. Кудрячева

MS,  
 $U_2O_9$

1966

~~6175j~~ Thermal contact with powdered samples for low temperature calorimetry. Howard E. Flotow and Darrell W. Osborne (Argonne Natl. Lab., Argonne, Ill.). Rev. Sci. Instr. 37(10), 1414-15(1966)(Eng). Rapid thermal eq*ui*.il. below  $\sim 10^{\circ}\text{K}$ . in calorimeters which contain powd. samples is obtained by the encapsulation and pressing of the powd. samples in a special type of thin-walled Cu container. Satisfactory heat capacity measurements have been made on US and  $U_2O_9$ , by use of the technique. P. J. Wilson, Jr.

Cp

B92-358-1111

C.A. 1967. 66-2



US (c) Greenberg & et al. 1966

5TT, N9, cuip. 10.

$\Delta k_f$

$\Delta k_f$  from  $\Delta k_c$  in  $F_2$

us

Macleod A.C.

1966

5TT, nr 9, ctp. 20

$\mu_T - \mu_{298}$

400 - 1500°K.

VIII 2466

1966

US ( T °<sub>NH</sub> )

Van Lierde W., Bressers J.,

J. Appl. Phys., 1966, 37, N 1, 1444

Preparation of uranium sulfide single  
crystals

PNC Pub 1966, 9A411

5

Westrum E.F. et al 1968

us

us<sub>1.9</sub>

BTT, N.Y., comp. 24:

us<sub>2</sub>

us<sub>3</sub>

Cp, 5-350°K

UN, UP, US, UC, P<sub>4</sub>N, PoS (Kp)

1967

Allebou H, Zeff R.M.

VIII 414

J. Nucl. Mater., 1967, 24, N1, 1-20 (анг.)

Chemical aspects of nitride, phosphate  
and sulphide fuels.

Есть оригинал.

РНХем, 1968

12832

Обзор,  
ст. фундамент

M, лу

(Ф)

ориг

UC

1987

81125n Determination or heats of oxidation of uranium sulfides. Kolar, D.; Komac, M.; Drofenik, M.; Bohinc, M.; Marinkovic, V.; Vene, N. (Nucl. Inst. J. Stefan, Ljubljana, Yugoslavia). *Nukl. Inst. Jozef Stefan, NIJS Rep.* 1967, R-506, 7 pp. (Eng). The oxidn. of US and  $US_2$  and the thermal effects during oxidn. were studied by use of D.T.A. US and  $US_2$  were oxidized at a heating rate of 5 or  $10^\circ/\text{min}$ . in static air and flowing O.  $\alpha\text{-Al}_2\text{O}_3$  was used as a standard and for the specimen diln. (10-15 wt. % sample in  $\text{Al}_2\text{O}_3$ ). Oxidn. was also investigated from x-ray powder photographs of specimens previously heated 1 hr. at atm. pressure at 100, 200, 300, 400, 500, and  $600^\circ$ . Gaseous reaction products were detd. by absorbing and analyzing for  $\text{SO}_2$  and  $\text{SO}_3$ , the gases evolved by heating sep. samples in a tube furnace in a slow stream of dry air. S present in the samples was evolved as  $\text{SO}_2$  (99%). The calibration substances for quant. D.T.A. measurements were chem. pure  $\text{CdCO}_3$  and  $\text{AgNO}_3$  mixed with 85-95%  $\alpha\text{-Al}_2\text{O}_3$ , the total vol. of

C.A. 1968.69.20

sample and inert material was 0.9 cc. and the differential temp. was recorded with a sensitivity of 0.4  $\mu$ v. or  $0.05^\circ/\text{mm.}$  of the scale. The peak areas were measured with a planimeter. US (120 mg.), dild. with  $\text{Al}_2\text{O}_3$  (1:8), was heated in static air at  $10^\circ/\text{min.}$  and the D.T.A. diagram showed an exothermic reaction, starting at  $210-20^\circ$ , with 4 sep. max. at  $330-40^\circ$ ,  $350-80^\circ$ ,  $400-20^\circ$ , and  $470-80^\circ$ . No reaction was observed from 500 to  $1000^\circ$ . A similar sample was heated in flowing dry O atm. and the D.T.A. diagram showed one very strong exothermic peak at  $350-70^\circ$ . Smaller samples (25-40 mg. dild. with  $\text{Al}_2\text{O}_3$ ) heated in air gave a similar D.T.A. diagram with a max. exothermic peak at  $380-400^\circ$ .  $\text{US}_2$  (100 mg.) heated in air resulted in several exothermic peaks besides main reaction peaks at  $340-80^\circ$  and  $430-60^\circ$ . In flowing O the two main peaks remained, but at  $330^\circ$  and  $350^\circ$ , resp. More dil. samples (10-120 mg. in 850 mg.  $\text{Al}_2\text{O}_3$ ) showed only one exothermic peak which split on increasing the amt. of sample. X-ray diagrams showed broadening of sharp lines, with change of intensities to a pattern corresponding to  $\text{UO}_2$ . Powder diagrams of specimens heated to  $500$  and  $600^\circ$  showed only lines of  $\text{U}_3\text{O}_8$ . The high-temp. diffractometer attachment gave similar results, but with lower transition temps. Powder patterns of  $\text{US}_2$  samples made after heating to  $100$  and  $200^\circ$ , and of the unheated samples, corresponded to the  $\alpha$ -modification of  $\text{US}_2$ . Oxidn. to  $\text{UO}_2$  could be detected between  $200$  and  $300^\circ$  and traces of  $\text{U}_3\text{O}_8$  were shown in the sample heated to  $400^\circ$ . Powders heated to  $500$  and  $600^\circ$  gave patterns corresponding to pure  $\text{U}_3\text{O}_8$ . Heats of oxidn. of

$\text{US}$  and  $\text{US}_2$  were obtained by using the equation  $\Delta H = \psi \int_0^t \phi dt$ ,

where  $\Delta H$  is the heat evolved,  $\psi$  is the proportionality const. detd. exptl.,  $t$  is the time, and  $\phi$  is the differential temp.. The values were, for  $\text{US}$ ,  $-276 \pm 12$  kcal./mole ( $370^\circ$ ), and for  $\text{US}_2$ ,  $-345 \pm 24$  kcal./mole ( $356^\circ$ ), and compare favorably with the calcd. values.

F. Learmonth

US

(B9-420-VII)

1967

Kolar D. et al.

US

Li

Thermodynamic. Nucl.  
"Mater. 1967" Vienna,  
1968, 249.

1M

Okunieff

(See. U<sub>3</sub>O<sub>8</sub>) I

окислы, суперфиды,  
кетриды, фосфиды,  
карбиды, силициды,  
германиды, бориды урана

VIII 758

1967

(D, P, S Gf)

Krivoj R,

U. S. At. Energy Commis.  
1967, UJV-1783, Avail. Dep.,  
48 pp (Czech.) Vaporization of various  
actinide compounds. III. Vaporization  
of certain uranium compounds.  
CA, 1968, 69N6, 21975u TD, M, B

~~W~~ (Tm)

UP, UAs, USb, US,  
USe, UPt, PuP, PuSb,  
PuSb, PuS, PuSe, PuSe 2

1967

~~X-P, As, Sb, S, Se, Te~~

VIII 131

Kruger O.L., Moser J.B.

J. Phys. Chem. Solids, 1967, 28(55), 2321-5

Lattice constants and melting

5(2)

16

1967

U.S.

McLeod A.C.

Hopkins S.W.J.

Proc. Brit. Ceram. Soc.,

N 8, 15.-30

H<sub>T</sub>-M  
298

Cp

(See. Al<sub>2</sub>O<sub>3</sub>) I

us

БД - VIII - 4/10

9

№ 2 E523. Термопроводность и теплоемкость монокарбида, монофосфида и моносульфида урана. Морсег J. B., Крюгер O. L. Thermal conductivity and heat capacity of the monocarbide, monophosphide, and monosulfide of uranium. «J. Appl. Phys.», 1967, 38, № 8, 3215—3222 (англ.)

Измерения температуропроводности и теплоемкости UC, UP и US проведены в интервале т-р от комнатной до 600° С методом нестационарного нагрева с помощью лазера. Термопроводность определена из данных по температуропроводности, теплоемкости и плотности. Термопроводность UC, UP и US при комнатных т-рах равна 0,057, 0,033 и 0,021 кал/см·сек·град соответственно. Значение термопроводности UC при 600° С уменьшается до 0,041 кал/см·сек·град, теплопроводность UP от т-ры не

(см. также ис) I

9.1968.28

1967

зависит, теплопроводность US увеличивается до 0,029 кал/см·сек·град. Значения теплоемкости всех трех в-в при комнатной т-ре немного выше 12 кал/моль·град. При 600° С теплоемкость UC возрастает до 15,2 кал/моль·град, теплоемкость UP и US от т-ры практически не зависит. Эксперим. значения теплоемкости представлены в форме полинома  $C_p = a + bT + cT^{-2}$ , вычислены значения энтропии и энтальпии от 400 до 1000° К. Электронная составляющая теплопроводности исследованных в-в вычислена по закону Видемана—Франца; использовано значение числа Лоренца для металлов. Обсуждены ограничения такого приближения и предложен иной метод разделения электронной и ионной составляющих. Для решеточной теплопроводности получено значение 0,02 кал/см·сек. Это значение близко к величинам 0,01 и 0,02, найденным с помощью закона Видемана—Франца для UP и US. Теплопроводность UC выше 300° С должна быть обусловлена электронами, если использовать обычное значение константы Лоренца. Однако сравнение тепло- и электропроводности для трех в-в свидетельствует, что число Лоренца для UC должно быть меньше, что может объясняться существованием оптич. рассеяния. Найдено, что термич. сопротивление решетки в рассмотренной группе в-в существенно не зависит от т-ры и что вычисления с помощью классич. моделей не дают согласия с измеренными значениями. Библ. 31.

Резюме

УС

ВР-VIII 902

1968

21 Б781. Исправление авторов к статье «Моносульфид урана». III. Термохимия, парциальные давления и энергии диссоциации  $US$  и  $US_2$ . Cater E. David, Rauh E. G., Thogm R. J. Erratum: uranium monosulfide. III. Thermochimistry, partial pressures, and dissociation energies of  $US$  and  $US_2$ . «J. Chem. Phys.», 1968, 48, № 1, 538 (англ.)

К РЖХим, 1967, 2Б575

Р

старая 1966г.

х. 1968.21

Чехия, ЧССР, ЧССР (ДН)

8 VIII 1968

Kolar D., Komáč M., Prokenník M., Ružincová M.

Marićković V., Vene N.

Thermodynamics. Nucl. Data, 1962, Vienna, 1968, 225-286.

Discuss., 286 (ann.)

Determination of heats of oxidation of ironium  
sulfides

РГАХН, 368

245466

ЕСТЬ ОРИГИНАЛ

М (р)

A 1057

1968

MS,  $MS_2$ ,  $M_3S_5$ ,  $M_2S_3$

M = U, Ce, Gd, Pu

(abs)

Marcon J.-P., Paseard R.,  
Rev. internat. hautes températ. et  
réfract., 1968, 5, n°1, 51-54

Préc, 1969, 4B24

Mit

21P  
0,999, 21S, 044, 21N<sub>0,9965</sub>, 21N<sub>1,510</sub> 1968

21N<sub>1,690</sub> ( $\Delta H_f$ ,  $\Delta H_c$ ) VIII 463

O'Hare P.P.G., Schleser L.L., Feder H.M., Hubbard W.N.

Thermochim. Nucl. Mater., 1967, Vienna, 1968, 265-278.

Discuss., 278 (answ.)

The thermochimistry of some uranium compounds,

Plenum, 1969

25710

61 (92)

1968

US  
US<sub>2</sub>

12 E423. Электронномикроскопическое исследование монокристаллов сульфида урана. II. Выделения второй фазы. Sole M. J., Walt C. M., van der Tuijzenberger Maria. Electron microscope studies of uranium sulphide single crystals. II. Precipitation phenomena. «Acta metallurg.», 1968, 16, № 5, 671—681 (англ.)

В тонких фольгах с ориентировкой (001), приготовленных из вытянутых из расплава монокристаллов US, обнаружены выделения трех типов. Выделения первого типа, имеющие форму тонких длинных пластин и лежащие в плоскостях {100}, не идентифицированы. Выделения второго типа, имеющие квадратную или прямоугольную форму, являются частицами оксисульфида урана (UOS). Эл.-микроскопич. изображение этих частиц очень свое-

09. 1968. 12 8

образно — «линия нулевого контраста» имеет форму гистерезисной петли; авторы делают попытку объяснить это явление. Выделения третьего типа всегда наблюдались в форме наклонных ламелей; авторы установили, что это частицы фазы  $\beta\text{-US}_2$ . С помощью микродифракции установлены следующие ориентационные соотношения:  
 $(001)_{\text{uos}} \parallel (001)_{\text{us}}$ ;  $[100]_{\text{uos}} \parallel [110]_{\text{us}}$ ;  $(010)_{\beta=\text{us}} \parallel (111)_{\text{us}}$ .  
Кратко обсуждаются возможные механизмы роста частиц второй фазы. Ч. I см. РЖФиз, 1968, 10Е366.

Л. М. Моргулис

ИС

Bsp -255 - VIII

1988

21

→ 9 E631: Моносульфид урана. Ферромагнитный переход. Теплоемкость и термодинамические свойства в области температур 1,5—350° К. Westrum Edgar F., Jr., Walters Robert R., Flotow Howard E., Osborne Dargell W. Uranium monosulfide. The ferromagnetic transition. The heat capacity and thermodynamic properties from 1.5° to 350° K. «J. Chem. Phys.», 1968, 48, № 1, 155—161 (англ.)

Проведено калориметрич. определение теплоемкости моносульфида U в области т-р 1,5—350° К. Вес образца составлял 15,326 г. В интервале т-р 1,5—22° К использовались медный калориметр, спрессованный вместе с размельченным образцом, и германниевый термометр. В интервале т-р 6—350° К измерения проводились в зо-

00. 1988 . 98

лотом калориметре объемом 8 см<sup>3</sup> и платиновым термометром. При т-ре 180,1°К обнаружена аномалия теплоемкости  $\lambda$ -типа, характеризующая ферромагнитный переход. Энтропия упорядочивания оказалась равной  $S = 1,6 + 0,2$  кал/моль·град, что почти совпадает с величиной  $S = R \ln 2 = 1,38$  кал/моль·град; соответствующей упорядочиванию магнитных ионов с  $s = 1/2$ . Ниже 9°К теплоемкость представляется в виде электронного, магнитного и решеточного членов:  $C_p = 5,588 \cdot 10^{-3} T + 2,627 \cdot 10^{-4} T^{3/2} + 6,752 \cdot 10^{-5} T^3$  кал/моль·град. Рассчитаны термодинамич. ф-ции: энтропия [S<sup>0</sup>], энтальпия [(H<sup>0</sup>—H<sub>0</sub><sup>0</sup>/T], ф-ция Гиббса [(G<sup>0</sup>—H<sub>0</sub><sup>0</sup>/T], которые при 298,15°К соответственно равны: 18,64 ± 0,05, 8,94 ± 0,02 и —9,70 ± 0,02 кал/моль·град. Определена энергия образования моносульфида U при 298,15°К оказавшаяся равной — 72,9 ± 3,5 ккал/моль.

И. Н. Калинкина

US(TB)

B9 - 489-XVIII

1969

- (T2307) Vapor pressure of uranium(IV) sulfide in the temperature interval 2100–2500°K. Nater, K. A. (Chem. Dep., React. Centrum Nederland, Petten, Neth.). *Recent. Develop. Mass Spectrosc., Proc. Int. Conf. Mass Spectrosc.* 1969 (Pub. 1970), 1136–43. Edited by Ogata, Koreichi. Univ. Park Press: Baltimore, Md. The congruent evapn. of US(s) occurs by 2 simultaneous reactions:  $US(s) = U(g) + S(g)$ ,  $\Delta H_T^\circ = 281 \pm 2$  kcal/mole, and  $US(s) = US(g)$ ,  $\Delta H_T^\circ = 136 \pm 1$  kcal/mole. The vapor pressure of US, obtained by heating US<sub>2</sub> under vacuum, was detd. at 2100–2500°K with a Knudsen cell attachment to the Atlas CH-4 mass spectrometer. Equil. was attained from either side. The standard heat of formation of US(s),  $\Delta H^\circ_{f,298}$ , is –74.2 kcal/mole.

Sharad P. Pednekar

C. A. 1971.45 20

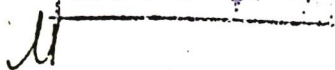
VIII - 3997

1970

US, US<sub>1.5</sub>, USe, UT<sub>e</sub> "gg" (σH<sub>f</sub>)

Baskin Y., Smith S.D.

J. Nucl. Mater., 1970, 37, 209-222



Pb, Mo, UO<sub>2</sub>, US, UN, UC (cp) 1970

Hoch H.

VII 5403

Proc. Symp. Thermophys. Prop., 5th  
1970, 380-4 (ann.)

High temperature specific heat  
of metals and ceramics.

5 (cp)

12



AP 1972, 46, N14, 77425u

UN, UP (T Neel)

8

1970

US, USE (T Curie)

VIII 4324

Marples J. A. C.,

J. Phys. Chem. Solids, 1970, 31, N° 11,

2431-9 (ann.)

10

X-ray study of the structures of  
uranium nitride, uranium phos-  
phide, uranium sulfide, and ure-  
nium selenide at cryogenic tem-

M 5 CP

peratures.

CA, 1971, 74, N 8, 35415, S

US

Bsp - 4328-VIII

1970

22 Б715. Теплоемкость моносульфида урана при температурах от 300 до 600° К. Nakai Eiichiro, Opo Futa ba, Takahashi Yoichi, Mukai bo Taka shi. Heat capacity of uranium monosulfide from 300° to 600° K. «J. Nucl. Sci. and Technol.», 1970, 7, № 8, 427—428 (англ.)

G.

Взаимодействием металлич. U с  $H_2S$  при 550° получен US (I). Определены параметр решетки I  $5,4866 \pm 0,0008\text{ \AA}$  и атомное отношение  $S/U = 1,00 \pm 0,03$ . Рентгенографически обнаружено присутствие фазы UOS в I. Теплоемкость I измерена при помощи адиабатич. калориметра в интервале 300—600° К. Обработкой эксперим. данных с помощью метода наименьших квадратов получено уравнение  $C_p = 11,31 - 3,683 \cdot 10^{-3} T - 3,144 \cdot 10^4 T^{-2}$  со средн. отклонением 0,6%. П. М. Чукров

X. 1971.22

US

Bp - 4328 - VIII

1970

68530f Heat capacity of uranium monosulfide from 300 to 600°K. Nakai, Eiichiro; Ono, Futaba; Takahashi, Yoichi; Mukai, Takashi (Cent. Res. Lab., Mitsubishi Metal Mining Co. Ltd., Omiya, Japan). *J. Nucl. Sci.*, vol. 1970, 7(8), 427-8 (Eng). The heat capacity of US at 300-600°K was detd. by using an adiabatic calorimeter. The measurements are made by a continuous-heating technique with a high-temp. double adiabatic control calorimeter. The sample container is made of Cu and Ag-electroplated. Helium (~20 torr) is introduced to enhance thermal contact between the sample and its container. The sample is heated continuously at a rate of ~1°/min by a const. current. The present results agree well with data by others. The calcd. heat capacities at 298.15°, 400° and 500°K are 12.06, 12.59, and 13.03 (cal/mole-degree), resp.

M. Rangaswamy

C.A. 1971. 24. 14

1970

У.С

5 Б900. Давление пара сульфида урана (4+) в температурном интервале 2100—2500 К. Nater K. A. The vapor pressure of uranium (IV) sulphide in the temperature interval 2100—2500° K. «Recent Develop. Mass Spectroscopy. Proc. Int. Conf. Mass Spectroscopy, Kyoto, 1969». Tokyo, 1970, 1136—1143. Discuss., 1143 (англ.)

Методом Кнудсена измерили давл. пара сульфида U(4+) US в интервале 2100—2500 К. Состав молекул в паровой фазе измеряли масс-спектрометрич. методом. Для расчета давл. пара использовали лит. данные по скорости эффузии US. US был получен из  $US_2$  термич. разл. в вакууме. Процесс испарения US описывается двумя р-циями  $US_{(k)} = U_{(r)} + S_{(r)}$  (1) и  $US_{(k)} = US_{(r)}$  (2).

$\Delta H_T^\circ, \Delta S_T^\circ$

$\Delta H_f^\circ_{298}$

X. 1975 № 5

Давл. паров  $U$  и  $US$  подчиняется зависимостям:  
 $\lg P_{U,\text{атм}} = -(2,924 \pm 0,066) \cdot 10^4 / T + (7,15 \pm 0,29)$   
 $\lg P_{US,\text{атм}} = -(3,244 \pm 0,66) \cdot 10^4 / T + (8,31 \pm 0,29)$ . Рассчи-  
тали станд. теплоты  $\Delta H_t^\circ$  и энтропии  $\Delta S_t^\circ$  р-цией:  
 $136 \pm 1$  ккал/моль (1)  $32,3 \pm 0,5$  кал/град·моль (1)  $281 \pm$   
 $\pm 3$  ккал/моль (2) и  $71,5 \pm 1,0$  кал/град·моль. Из этих  
данных станд. теплота диссоциации  $US_{(r)} = U_{(r)} + S_{(r)}$   
равна  $145 \pm 4$  ккал/моль. Станд. теплота образования  
 $US$   $\Delta H_{298}^\circ$  равна  $-74,2$  ккал/моль, что хорошо согла-  
суется с лит. значением  $(-73,3 \pm 3,6)$ . Рассчитали зна-  
чения  $H_t^\circ - H_{298}^\circ$ ,  $S_t$  и  $(G_t^\circ - H_{298}^\circ) / T$  в интервале  
400—3100 К.

Л. Г. Титов

$\text{U}_{\text{Sx}}$ ,  $\text{U}_{\text{S5}}$ , d- $\text{U}_{\text{S2}}$ ,  $\beta$ - $\text{U}_{\text{S2}}$  (SH, SS, ST, )  
 $x = 1.1 - 1.5, 1.7 - 2.0, 2.0 - 2.6$  (CP VIII 3981) 1970

Сибирских В. К., Севастиков В. Г.,  
Эндерм. Т. В.

Ж. неорг. хим., 1970, 15, № 8, 2064-6  
(русск.)

Реакции неравновесной субSTITУции  
урана.

V

М, Б

OP

( )

CA 1970, 73, N 22, 1138254

US

Takahashi A. et al.

1970

BTT, N13, cip. 22

$C_p$ ,

300 - 1100 K

$C_p$ , 310 - 600 K

U.S'

B9P-5098-VIII

1941

(101908) High-temperature thermodynamic properties of uranium monosulfide. MacLeod, A. C. (Dep. Metall., Univ. Strathclyde, Glasgow, Scot.). *J. Inorg. Nucl. Chem.* 1971, 33(8), 2419-25 (Eng). The enthalpy of US has been measured at 400-1400°K in an adiabatic drop calorimeter. The data are represented by the equation  $(H_T - H_{298.115}) = 12.633T + 7.7865 \times 10^{-4}T^2 + 9.0413 \times 10^4 T^{-1} - 4139$  cal/mole, with a mean deviation of 0.55 %. Molar thermodynamic properties at 300-2000°K have been calcd. and a value of -80 kcal/mole is derived for the heat of formation from the solid elements at 298.15°K.

$H_T - H_{298}$

$\Delta H_f^\circ$   
of 298

C. H. 1941 #5. 16

UOS'

Bsp -5098 -VIII

1971

№1 Б763. Высокотемпературные термодинамические свойства моносульфида урана. MacLeod A. C. High-temperature thermodynamic properties of uranium monosulphide. «J. Inorg. and Nucl. Chem.», 1971, 33, № 8, 2419—2425 (англ.)

Hf - Hg

С использованием медного массивного калориметра смешения измерена энталпия UOS (I) в интервале т-р 400—1000° К. В образце I обнаружено присутствие кислорода в кол-ве 0,14%. Металлографич. и рентгеновские исследования обнаружили фазу UOS в I. Окончательно принято, что образцы I состояли из  $UOS_{0,98} +$

OKf

X · 1972 · I

+2,6% UOS и публикуемые термодинамич. св-ва относятся к соединению состава  $US_{0,98}$ . С использованием лит. значения  $C_p$  I, равного 12,08 кал/моль·град при 298°К, результаты измерений энталпии представлены урнием  $H_t - H_{298} = 12,633 T + 7,7865 \cdot 10^{-4} T^2 + 9,0413 \cdot 10^4 T^{-1} - 4139$  кал/моль со средн. отклонением 0,55%. Табулированы мол. термодинамич. св-ва I в интервале т-р 298—2000° К с шагом в 100°. По лит. данным оценена станд. теплота образования  $US(\text{тв.}) \Delta H_{298}^0 = -80$  ккал/моль.

П. М. Чукров

US

VII - 5201

1971

133720 High-temperature heat capacity of uranium monosulfide by the laser flash method. Murabayashi, M.; Takahashi, Y.; Mukaibo, T. (Dep. Nuck. Eng., Univ. Tokyo, Tokyo, Japan). *J. Nucl. Mater.* 1971, 40(3), 353-4 (Eng). The heat capacity for US was  $12.74 + 1.355 \times 10^{-3}T - 9.268 \times 10^4 T^{-2}$  cal/mole degree at 298-1000°K. Selected values of the entropy, enthalpy, and Gibbs energy function were calcd.

Jasper D. Hepworth

(Cp, S)

H-H, C°

other tagline

C. H. 1971. \$5.22

US<sub>2</sub>

VII.-5268

(972)

16 Б432. Кристаллическая структура и магнитные  
и электрические свойства  $\beta$ -US<sub>2</sub>. Suski W., Gibinski T., Wojakowski A., Czopnik A. The crystal  
structure and magnetic and electrical properties of  $\beta$ -US<sub>2</sub>.  
«Phys. status solidi (a)», 1972, 9, № 2, 653—658 (англ.;  
реп. рус.)

Взаимодействием металлич. U с избытком S при 600°  
с послед. хим. транспортом при т-рах 820—740° с ис-  
пользованием Вг<sub>2</sub> в кач-ве транспортирующего агента  
получены черные кристаллы  $\beta$ -US<sub>2</sub>. Рентгенографически  
(дифрактометр, камера Вейсенберга,  $\lambda$ Си и Mo) уста-  
новлена его принадлежность к ромбич. сингонии ф. гр.

CP - рус

X - 1982:

16

*Pbnm*, структурный тип  $\text{PbCl}_2$  с параметрами решетки:  $a = 8,4803$ ,  $b = 7,1139$ ,  $c = 4,1205$  Å. Структура уточнена МНК до  $R=0,14$ . Каждый атом U окружен 9 атомами S с средн. расстоянием U—S 2,888 Å. Атомы S имеют четверную ( $S_4$ ) и пятерную ( $S_5$ ) координацию со средн. расстоянием U—S 2,750 и 2,999 Å соотв. Ближайшие расстояния  $S_4—S_4$  3,113,  $S_4—S_5$  3,221,  $S_5—S_5$  3,516 Å. Повышение эфф. магн. момента  $\beta\text{-US}_2$  при нагревании объясняено в предположении, что основное состояние представлено четырьмя очень близкими спинглетными уровнями. Измерена зависимость сопротивления от температуры в интервале 4,2—650° К. Установлено наличие минимума сопротивления при 100° К. При температурах  $>600^{\circ}\text{K}$   $\beta\text{-US}_2$  становится полупроводником с шириной запрещенной зоны 1,2 эВ.

М. Б. Варфоломеев

U.S

Бюл 115-ХVIII

1974

термопары.

пробеги:

( $P_{tr}$ )

д. 1974. № 24.

Kamimoto Masayuki,  
Takahashi Yoichi.

"J. Nucl. Sci. and Technol." 1974,  
"11, № 4, 158-159 (авн.)

Термопары проводности  
UP и U.S. в интервале от 100  
до 1000°K.

(авт. UP; Т)

Church of Plymouth 1974

U.S. (mb)

U.S. 1.9 (mb)

U.S. 2 (mb)

298-2000

M.J.CB-Ba.

Mills H.C.

Thermodyn. Data for the  
organic Sulphides, Seleni-  
des and Tellurides. Part III.  
London: Butterworths. 1944.

• C.P. 656

U.S (Kjær)

1976

(T<sub>re</sub>)

86: 132356f A study of magnetic behavior in uranium monosulfide single crystals. Tillwick, D. L.; Du Plessis, P. de V. (Dep. Exp. Theor. Phys., Rand Afrikaans Univ., Johannesburg, S. Afr.). *J. Magn. Magn. Mater.* 1976, 3(4), 319-28 (Eng). The temp. and field dependences of the magnetization of ferromagnetic single crystal US along its easy  $\langle 111 \rangle$  and hard  $\langle 110 \rangle$  and  $\langle 100 \rangle$  axes are reported. A considerable anisotropy was obsd. The behavior near the Curie temp. is described in terms of the Belov method of thermodn. coeffs., as well as in terms of crit. exponents. The temp. dependence of the spontaneous magnetization was investigated.

C.A. 1977 86 N18

1977

U.S.  
U.S.  
U.S.

298-2435-48

298-2000

298-400 - US2

Barron T, et al

D.I, p. 816-817  
D.II, p. 745-777

cell Ag F-<sup>-</sup>

W.S

1977

(T<sub>tr</sub>)

86: 181758x Magnetization of ferromagnetic uranium monosulfide single crystals. Tillwick, D. L.; Du Plessis, P. De V. (Rand Afrikaans Univ., Johannesburg, S. Afr.); *Physica B + C (Amsterdam)* 1977, 86-88 B+C, pt. 1, 113-14 (Eng). Magnetization measurements of US ( $T_c \approx 175$  K) are reported as a function of temp., magnetic field and orientation. Isofield magnetization curves in low fields taken after 1st cooling the crystal from above  $T_c$  in zero field to low temp.; show a peak, as well as jumps, upon subsequent heating in a field.

C.A. 1977 86 1/24

US(Te<sub>2</sub>)

XVIII-2233 1979

Schoenes J., Vogt O., Keller J.

Solid State Commun., 1979, 32, NID, 373-377 (0000)

Optical properties and electronic structure  
of US.

P.W.Karr, 1980

105621

● 5 ⓟ

1980

165

2 E1356. Коэффициент теплопроводности и электросопротивление моносульфида урана при высоких температурах. Евстюхин А. И., Кохтев С. А. «Металлургия и металловед. чист. мет.» (Москва), 1980, № 14, 77—84

Исследовалось 6 образцов сплава US со смесью ( $\text{UOS} + \text{UO}_2$ ) от 0,30 до 6,1% и два образца сплава еще и с 19% UC. Все образцы были однофазными. Измерения теплопроводности ( $K$ ) и уд. сопротивления ( $\rho$ ) проводились методом радиального теплового потока в стационарном режиме при нагреве пропусканием тока в интервале т-р 900—1900° С. Установлено, что  $\rho$  и  $K$  для всех образцов линейно возрастают с ростом т-ры. Чистый US имеет  $\rho = 221$  мк·ом·см при 900° С. Рост содержания примесей вызывает увеличение  $\rho$ , особенно значительно при их конц-ии выше 3,9%. Для чистого US  $K = 0,151$  вт/см·град при 900° К. Присутствие примесей окиссульфида ведет к некоторому снижению  $K$ , а примесь карбосульфида повышает  $K$ .

Г. В. Федоров

Менюхин,  
Д. С. Соколов.

Ф. 1981 № 2

115

1980

2 Б807. Изучение давления пара урана над моносульфидом и карбосульфидами урана. Кохтев С. А., Евстюхин А. И., Хромоножкин В. В., Андриевский Р. А. «Металлургия и металловед. чист. мет.» (Москва), 1980, № 14, 73—77

(44f)

Путем определения равновесного давл. пара интегральным методом Кнудсена исследовано влияние введения примеси — углерода на активность и термодинамич. стабильность моносульфида (I), окисульфида (II) и карбосульфидов (III) урана (IV). Давл. пара вычисляли по ф-ле Кнудсена—Лэнгмюра с введением соотв-щих поправок. Показано, что увеличение массового содержания II в I до 6,1% приводит к повышению давл. пара IV, и теплота сублимации IV при этом несколько увеличивается. Введение в I до 20% монокарбида урана также приводит к увеличению давл. пара IV. Результаты хорошо согласуются с лит. данными. По данным о т-рной зависимости дав. пара IV над I оценена теплота образования  $US_{tv}$ , равная 359 кДж г-ат.

X. 1981 № 2

В. Г. Юркин

1985

US

> 22 Б2549. Зависимость намагниченности US от давления. Pressure dependence of the magnetization of US. Fourgnier J. M., Voiron J., Tros R. «Solid. State Comm.», 1985, 54, № 5, 441—442 (англ.)

Для поликрист. образцов кубич. ферромагнетика US с  $T_c \approx 177$  К,  $\mu = 1,55$  мв при внешних гидростатич. давлениях  $P \leq 7$  кбар в магн. полях  $H \leq 70$  кГс измерена намагниченность  $\sigma$ . Установлено, что  $\sigma$  ( $H=60$  кГс) при  $T=4,2$  и 80 К линейно убывает с повышением  $P$  ( $d\ln\sigma/dP = -3,15 \pm 0,15$  Мбар<sup>-1</sup>). Зависимость  $\sigma$  от объема описывается ур-нием  $d\ln\sigma/d\ln V = -3,15$ , что существенно больше величины  $d\ln T_c/d\ln V = 1,26$ . Полученное различие 2 объемных коэф. может объясняться либо сосуществованием ферромагн. обмена и антиферромагн. взаимодействия Кондо, либо особенностями зонной структуры US. Последние могут приводить к тому, что при увеличении  $P$  орбитальная компонента магн. момента замораживается гораздо быстрее, чем спиновая.

Ю. В. Ракитин

Tc;

X. 1985, 19, N 22.

LIS

1985

Olsen J. Stoum, Steenstrup S., et al.  
Rep. Univ. Copenhagen,  
Phys. Lab. 2 1985, 85-14,  
14 pp.



(act. UC; I)

US

[om 22714]

1985

Rudigier H., Ott H.R., Vogt O.,

Phys. Rev. B: Condens. Matter,  
1985, 32, N<sup>7</sup>, 4584-4591.

Cp;

US(k<sup>o</sup>)

On 23rd 6

1986

104: 76265b Low-temperature specific heat of uranium monosulfide. Gordon, J. E.; Troc, R. (Dep. Phys., Amherst Coll., Amherst, MA 01002 USA). *Phys. Rev. B: Condens. Matter* 1986, 33(1), 578-80 (Eng). The sp. heat of a single crystal of US was measured at 1.25-4.55 K. A  $(C/T)$ -vs- $T^2$  anal. of the data yields a good straight-line fit which corresponds to values for temp. coeff. and Debye temp. of 25.3 mJ/(mole K<sup>2</sup>) and 181 K, resp.. The data show no evidence of a  $T^{3/2}$  spin-wave contribution, but do support the view that the linear term in the sp. heat is not solely a conduction-electron contribution.

Cp;

c.A.1986, 104, N10

US

от 23 Янв 1986

7 E403. Теплоемкость моносульфида урана при низких температурах. Low-temperature specific heat of uranium monosulfide. Gordon J. E., Troc R. «Phys. Rev. B: Condens. Matter», 1986, 33, № 1, 578—580 (англ.)

Приведены результаты измерений теплоемкости моноокриSTALLA US в интервале т-р от 1,25 до 4,55 К. Результаты описываются суммой линейного ( $\gamma T$ ) и кубич. члена. Для  $\gamma$  найдено 25,3 мДж/моль·К<sup>2</sup> в хорошем согласии с данными, полученными ранее для поликристаллов. Т-ра Дебая равна 181 К. Спин-волн. вклада типа  $T^{3/2}$  не обнаружено. Отмечается, что найденное значение  $\gamma$  оказывается значительно большим, чем результаты расчетов на основе зонной структуры.

Л. П. Ф.

ф. 1986, 18, № 7

US

1986

Olsen J. Staur,  
Steenstrup S., et al.

pazos.

repexog.

Physica, 1986, BC139  
-140, 308-310.

(cfr. UC; I)

US(OC)

[92 GRE/FUG]

1992

Grenthe T. Fuger, et al.

Chemical Thermodynamics of Uranium

Amsterdam et al., NEA, 1982, p. 61.

$$a = 5,28565(+01)$$

$$b = 6,51544(-03)$$

$$c/d = -$$

$$e = -3,48288(+05)$$

$$T_{min} = 298$$

$$T_{max} = 2000$$

$$C_p^{\circ}(T) = a + bT + cT^2 + dT^{-1} + eT^{-2}$$

US(OR)

[92GRE / FIG]

1992

Grenthe I., Fuger J., et al.

Chemical Thermodynamics of Uranium.

$$\Delta_f G_{298}^{\circ} = -320,929 \pm 12,600 \text{ kJ mol}^{-1}$$

$$\Delta_f H_{298}^{\circ} = -322,200 \pm 12,600 \text{ kJ mol}^{-1}$$

$$S_{298}^{\circ} = 47,900 \pm 0,210 \text{ J K}^{-1} \text{ mol}^{-1}$$

$$C_p^{\circ}_{298} = 50,540 \pm 0,080 \text{ J K}^{-1} \text{ mol}^{-1}$$

Ansforsclam et al., NEA, 1992, p.30.